

Dinamica dell'atmosfera

Equazioni Shallow Water e onde

Leonardo Primavera

Dipartimento di Fisica
Università della Calabria

- Come abbiamo visto, la soluzione geostrofica è semplice, ma determina il campo di velocità esclusivamente in funzione del campo di pressione.
- Nella realtà le fluttuazioni di velocità, che abbiamo trascurato nel caso geostrofico attraverso l'assunzione $Ro \ll 1$, influenzano a loro volta il campo di pressione (vedi, ad es., il caso di **fluido incomprimibile**, in cui la pressione è ottenuta dal campo di velocità!).
- Poiché tuttavia le equazioni fluide sono comunque troppo complicate per poterle risolvere in maniera generale, faremo delle approssimazioni **la cui validità andrà valutata caso per caso!**

- Facciamo le seguenti **ipotesi semplificative**:

- 1 lo **strato di fluido** è **sottile**;
- 2 **densità uniforme**, cioè il fluido è supposto **omogeneo e incompressibile**.
Questa è una **ipotesi alquanto drastica!**
Nota che questo implica anche:

$$\nabla \rho = 0$$

cioè il **fluido** è **barotropico**;

- 3 **sistema cartesiano** (quindi ignoriamo i termini di curvatura) con:

$$\vec{\Omega} // \hat{z} \Rightarrow f = 2\Omega;$$

- 4 la **pressione dello strato superiore di fluido** è supposta **costante** = \tilde{p}_0 (anche se questa ipotesi non è strettamente necessaria);
- 5 il **fluido è incompressibile**, dalla condizione 2), quindi $\nabla \cdot \vec{u} = 0$ dappertutto;
- 6 la **viscosità è trascurabile** ($\mu = 0 \Rightarrow Ek = 0!$).

- Se poniamo:

$$\delta = \frac{H}{L} \ll 1$$

dalla condizione 5) abbiamo:

$$\underbrace{\frac{\partial u}{\partial x}}_{\frac{U}{L}} + \underbrace{\frac{\partial v}{\partial y}}_{\frac{U}{L}} + \underbrace{\frac{\partial w}{\partial z}}_{\frac{W}{H}} = 0 \Rightarrow \frac{U}{L} \sim \frac{W}{H} \Rightarrow W \sim \delta U$$

e quindi: $W \ll U$.

- In questo caso, le equazioni fluide diventano:

$$\begin{aligned}\frac{\partial u}{\partial t} + u \frac{\partial u}{\partial x} + v \frac{\partial u}{\partial y} + w \frac{\partial u}{\partial z} - fv &= -\frac{1}{\rho} \frac{\partial p}{\partial x} \\ \frac{\partial v}{\partial t} + u \frac{\partial v}{\partial x} + v \frac{\partial v}{\partial y} + w \frac{\partial v}{\partial z} + fu &= -\frac{1}{\rho} \frac{\partial p}{\partial y} \\ \frac{\partial w}{\partial t} + u \frac{\partial w}{\partial x} + v \frac{\partial w}{\partial y} + w \frac{\partial w}{\partial z} &= -\frac{1}{\rho} \frac{\partial p}{\partial z} - g\end{aligned}\quad (1)$$

- Se ora analizziamo per ordini di grandezza, dalla (1.1-2) otteniamo:

$$P \sim \rho L \max\left(\frac{U^2}{L}, \Omega U\right) \sim \rho U^2 \max(1, Ro^{-1})$$

- Di conseguenza, dalla (1.3) abbiamo:

$$\frac{|\frac{\partial w}{\partial t}|}{|\frac{1}{\rho} \frac{\partial p}{\partial z}|} \sim \frac{\delta^2}{\max(1, \frac{1}{Ro})}$$

- Non stiamo qui facendo nessuna ipotesi sul Ro , ma in ogni caso il termine a sx nell'ultima equazione è **trascurabile!**
- La (1.3) quindi equivale a:

$$-\frac{\partial p}{\partial z} - \rho g = 0 \quad \Rightarrow \quad \text{equilibrio idrostatico lungo } z!$$

- Integrando questa equazione lungo z , imponendo la condizione che a $z = h(x, y)$ la pressione sia costante (dalla condizione 4)! si trova:

$$p = \tilde{p}_0 + \rho g [h(x, y) - z]$$

- da cui si trova che i secondi membri delle (1.1-2) sono:

$$\begin{aligned} -\frac{1}{\rho} \frac{\partial p}{\partial x} &= -g \frac{\partial h}{\partial x} \\ -\frac{1}{\rho} \frac{\partial p}{\partial y} &= -g \frac{\partial h}{\partial y} \end{aligned}$$

- Ma questo implica che le componenti u e v **NON** possono dipendere da z , in quanto le rispettive accelerazioni:

$$\frac{\partial u}{\partial t} = fv - g \frac{\partial h}{\partial x}$$
$$\frac{\partial v}{\partial t} = -fu - g \frac{\partial h}{\partial y}$$

non dipendono da z !

- Di nuovo, come nel caso geostrofico, troviamo quindi che u e v sono **indipendenti da z** . Nota che questa è una diretta conseguenza del Teorema di Taylor-Proudman, essendo $\vec{\Omega} // \hat{z}$ e il fluido **barotropico**, valendo le ipotesi 2), 3) e 6).

- Dalla condizione: $\nabla \cdot \vec{u} = 0$, integrando lungo z , otteniamo:

$$w(x, y, z, t) = -z \left(\frac{\partial u}{\partial x} + \frac{\partial v}{\partial y} \right) + \tilde{\omega}(x, y, t) \quad (2)$$

essendo $\tilde{\omega}$ una funzione generica, perché u e v **non dipendono da z** .

- Possiamo far vedere che, sul fondo: $z = h_B(x, y)$, si ha, per la (2):

$$w(x, y, z = h_B, t) = u \frac{\partial h_B}{\partial x} + v \frac{\partial h_B}{\partial y} = -h_B \left(\frac{\partial u}{\partial x} + \frac{\partial v}{\partial y} \right) + \tilde{\omega}(x, y, t)$$

da cui si ottiene:

$$\tilde{\omega}(x, y, t) = u \frac{\partial h_B}{\partial x} + v \frac{\partial h_B}{\partial y} + h_B \left(\frac{\partial u}{\partial x} + \frac{\partial v}{\partial y} \right)$$

- Inserendola nella (2), ci dà:

$$w(x, y, z, t) = -z \left(\frac{\partial u}{\partial x} + \frac{\partial v}{\partial y} \right) + u \frac{\partial h_B}{\partial x} + v \frac{\partial h_B}{\partial y} + h_B \left(\frac{\partial u}{\partial x} + \frac{\partial v}{\partial y} \right) \quad (3)$$

- A $z = h(x, y, t)$ vale un discorso analogo, a meno del fatto che questa volta h dipende anche dal tempo, per cui ricaviamo, usando la (3):

$$\frac{\partial h}{\partial t} + u \frac{\partial}{\partial x} (h - h_B) + v \frac{\partial}{\partial y} (h - h_B) + (h - h_B) \left(\frac{\partial u}{\partial x} + \frac{\partial v}{\partial y} \right) = 0$$

- Definendo:

$$H = h - h_B = H(x, y, t)$$

che rappresenta la **profondità del fluido**,

- Inserendo H nell'equazione precedente, otteniamo:

$$\frac{dH}{dt} = -H(\nabla \cdot \vec{u}_H) = -H \left(\frac{\partial u}{\partial x} + \frac{\partial v}{\partial y} \right) \quad (4)$$

cioè se si ha una **convergenza** delle linee di flusso ($\nabla \cdot \vec{u}_H < 0$) la **profondità del fluido deve aumentare** ($\frac{\partial H}{\partial t} > 0$), e viceversa.

- Otteniamo infine il set di equazioni **Shallow-water**:

$$\begin{aligned}\frac{\partial u}{\partial t} + u \frac{\partial u}{\partial x} + v \frac{\partial u}{\partial y} - fv &= -g \frac{\partial h}{\partial x} \\ \frac{\partial v}{\partial t} + u \frac{\partial v}{\partial x} + v \frac{\partial v}{\partial y} + fu &= -g \frac{\partial h}{\partial y} \\ \frac{dH}{dt} + H \left(\frac{\partial u}{\partial x} + \frac{\partial v}{\partial y} \right) &= 0\end{aligned}\tag{5}$$

cioé usiamo l'equazione per la profondità H invece dell'equazione per w !

- Nota come questa sia una **notevolissima semplificazione del problema**, dato che ora tutte le quantità dipendono solo da t, x, y ma non più da z ! **Il problema è quindi diventato bi-dimensionale!**

- Infatti, se ricaviamo dalla (4) la quantità:

$$\left(\frac{\partial u}{\partial x} + \frac{\partial v}{\partial y} \right) = -\frac{1}{H} \frac{dH}{dt}$$

e la sostituiamo nella (2), otteniamo:

$$\frac{1}{H} \frac{dz}{dt} - \frac{z - h_B}{H^2} \frac{dH}{dt} - \frac{1}{H} \left(u \frac{\partial h_B}{\partial x} + v \frac{\partial h_B}{\partial y} \right) = 0 \quad (6)$$

che equivale alla:

$$\frac{d}{dt} \left(\frac{z - h_B}{H} \right) = 0$$

- La quantità $\frac{z - h_B}{H}$ varia tra 0 e 1 e rappresenta l'altezza della particella di fluido relativa alla profondità.

- Nelle stesse ipotesi viste finora, andiamo a calcolarci la vorticità:

$$\begin{aligned}\omega_x &= \frac{\partial w}{\partial y} - \frac{\partial v}{\partial z} = \frac{\partial w}{\partial y} \\ \omega_y &= \frac{\partial u}{\partial z} - \frac{\partial w}{\partial x} = -\frac{\partial w}{\partial x} \\ \omega_z &= \frac{\partial v}{\partial x} - \frac{\partial u}{\partial y}\end{aligned}$$

- Vedendo come scalano le varie quantità si trova:

$$\omega_x, \omega_y \ll \omega_z$$

cioé la sola componente dominante della vorticità è quella lungo z !

- Poniamo:

$$\zeta = \omega_z$$

- Derivando la (5.1) rispetto a y e la (5.2) rispetto a x e sottraendo membro a membro le due equazioni così ottenute, dopo alcuni calcoli, otteniamo:

$$\frac{d\zeta}{dt} = -(\zeta + f) \left(\frac{\partial u}{\partial x} + \frac{\partial v}{\partial y} \right)$$

che vuol dire che:

- 1 la convergenza dei tubi vorticosi può far crescere ζ (vortex-tube stretching)
- 2 non si può avere vortex-tube tilting perché la condizione di bi-dimensionalità verrebbe violata.

- Combinando questa equazione con la (4) e definendo la quantità:

$$\Pi_S = \frac{\zeta + f}{H}$$

otteniamo:

$$\frac{d\Pi_S}{dt} = 0$$

cioé Π_S è conservata durante il moto della **colonna di fluido!**

- Questa quantità, o la stessa divisa per ρ , è la **vorticità potenziale**.

- Il sistema di equazioni (5) ottenute può essere riscritto nella forma:

$$\begin{aligned}\frac{\partial u}{\partial t} + u \frac{\partial u}{\partial x} + v \frac{\partial u}{\partial y} - fv &= -g \frac{\partial h}{\partial x} \\ \frac{\partial v}{\partial t} + u \frac{\partial v}{\partial x} + v \frac{\partial v}{\partial y} + fu &= -g \frac{\partial h}{\partial y} \\ \frac{\partial H}{\partial t} + \frac{\partial(uH)}{\partial x} + \frac{\partial(vH)}{\partial y} &= 0\end{aligned}\tag{7}$$

con $H(x, y, t) = h(x, y, t) - h_B(x, y)$.

- Tale sistema è **NON LINEARE!** Possiamo linearizzarlo e quindi cercare come si propagano perturbazioni di piccola ampiezza nel fluido.
- Questo ci permetterà anche di stimare un ordine di grandezza dei tempi caratteristici dei fenomeni atmosferici.

- Supponiamo quindi di avere una soluzione di equilibrio:

$$u_0 = v_0 = 0 \quad \text{e} \quad H_0 = H_0(x, y) \quad (8)$$

indipendente dal tempo.

- Cioé il fluido è supposto in quiete e il profilo dello strato superiore è **stazionario**.
- La (8) è una soluzione sse:

$$\frac{\partial h}{\partial x} = \frac{\partial}{\partial x}(H_0 + h_B) = \frac{\partial h}{\partial y} = \frac{\partial}{\partial y}(H_0 + h_B) = 0$$

cioé il profilo imperturbato h dev'essere piano, com'è naturale!

- Supponiamo quindi di applicare a questo stato delle piccole perturbazioni fatte come:

$$\begin{aligned}u &= \epsilon u'(x, y, t) \\v &= \epsilon v'(x, y, t) \\H &= H_0(x, y) + \epsilon \eta(x, y, t)\end{aligned}\tag{9}$$

con $\epsilon \ll 1$.

- Linearizziamo le equazioni, cioè teniamo solo i termini in ϵ , trascuriamo i termini di ordine superiore (in ϵ^2), eliminiamo i termini che soddisfano le equazioni dell'equilibrio e otteniamo:

$$\begin{aligned}\frac{\partial u'}{\partial t} - fv' &= -g \frac{\partial \eta}{\partial x} \\ \frac{\partial v'}{\partial t} + fu' &= -g \frac{\partial \eta}{\partial y} \\ \frac{\partial \eta}{\partial t} + \frac{\partial(H_0 u')}{\partial x} + \frac{\partial(H_0 v')}{\partial y} &= 0\end{aligned}\tag{10}$$

- Ridefinendo:

$$U = H_0 u'$$

$$V = H_0 v'$$

le (10), moltiplicando membro a membro per H_0 , ci danno:

$$\begin{aligned}\frac{\partial U}{\partial t} - fV &= -gH_0 \frac{\partial \eta}{\partial x} \\ \frac{\partial V}{\partial t} + fU &= -gH_0 \frac{\partial \eta}{\partial y} \\ \frac{\partial \eta}{\partial t} + \frac{\partial U}{\partial x} + \frac{\partial V}{\partial y} &= 0\end{aligned}\tag{11}$$

- Possiamo ottenere un'unica equazione per la perturbazione η del profilo di profondità operando sulle (11) nel modo seguente...

- Deriviamo la (11.1) in $\frac{\partial}{\partial x}$ e la (11.2) in $\frac{\partial}{\partial y}$ e sommiamo i risultati ottenuti:

$$\frac{\partial}{\partial t} \left(\frac{\partial V}{\partial y} + \frac{\partial U}{\partial x} \right) - f \left(\frac{\partial V}{\partial x} - \frac{\partial U}{\partial y} \right) = -g \nabla \cdot (H_0 \nabla \eta) \quad (12)$$

mentre, se deriviamo la (11.1) in $\frac{\partial}{\partial y}$ e la (11.2) in $\frac{\partial}{\partial x}$ e sottraiamo il primo risultato dal secondo:

$$\frac{\partial}{\partial t} \left(\frac{\partial V}{\partial x} - \frac{\partial U}{\partial y} \right) + f \left(\frac{\partial V}{\partial y} + \frac{\partial U}{\partial x} \right) = -g \left(\frac{\partial H_0}{\partial x} \frac{\partial \eta}{\partial y} - \frac{\partial H_0}{\partial y} \frac{\partial \eta}{\partial x} \right) \quad (13)$$

- Infine, deriviamo la (12) rispetto a $\frac{\partial}{\partial t}$ e sostituiamo il termine:

$$\frac{\partial}{\partial t} \left(\frac{\partial V}{\partial x} - \frac{\partial U}{\partial y} \right)$$

ottenuto nella (13). Abbiamo così:

$$\begin{aligned} \frac{\partial^2}{\partial t^2} \left(\frac{\partial V}{\partial y} + \frac{\partial U}{\partial x} \right) + f^2 \left(\frac{\partial V}{\partial y} + \frac{\partial U}{\partial x} \right) = \\ = -g \frac{\partial}{\partial t} \nabla \cdot (H_0 \nabla \eta) - fgJ(H_0, \eta) \end{aligned}$$

dove:

$$J(H_0, \eta) = \begin{pmatrix} \frac{\partial H_0}{\partial x} & \frac{\partial H_0}{\partial y} \\ \frac{\partial \eta}{\partial x} & \frac{\partial \eta}{\partial y} \end{pmatrix} = \frac{\partial H_0}{\partial x} \frac{\partial \eta}{\partial y} - \frac{\partial H_0}{\partial y} \frac{\partial \eta}{\partial x}$$

è lo **Jacobiano** di H_0 e η .

- Possiamo a questo punto ottenere un'equazione **unica** per la sola η eliminando la quantità:

$$\frac{\partial U}{\partial x} + \frac{\partial V}{\partial y} = -\frac{\partial \eta}{\partial t}$$

che possiamo ottenere dalla (11.3).

- Avremo quindi:

$$\frac{\partial}{\partial t} \left[\left(\frac{\partial^2}{\partial t^2} + f^2 \right) - \nabla \cdot (C_0^2 \nabla \eta) \right] - fgJ(H_0, \eta) = 0 \quad (14)$$

avendo posto: $C_0^2 = gH_0$

- La (14) rappresenta una equazione per $\eta(x, y, t)$ che, una volta risolta, ci fornisce il modo di calcolare u' e v' .
- Infatti, dalle (10.1-2), derivando $\frac{\partial}{\partial t}$ la prima rispetto al tempo e sostituendo la $\frac{\partial v'}{\partial t}$ ottenuta dalla seconda, abbiamo:

$$\left(\frac{\partial^2}{\partial t^2} + f^2\right) u' = -g \left(\frac{\partial}{\partial x} \frac{\partial \eta}{\partial t} + f \frac{\partial \eta}{\partial y}\right) \quad (15)$$

- Analogamente, derivando $\frac{\partial}{\partial t}$ la seconda e sostituendo il $\frac{\partial u'}{\partial t}$ ottenuto dalla prima:

$$\left(\frac{\partial^2}{\partial t^2} + f^2\right) v' = -g \left(\frac{\partial}{\partial y} \frac{\partial \eta}{\partial t} - f \frac{\partial \eta}{\partial x}\right) \quad (16)$$

- Quindi, una volta nota la $\eta(x, y, t)$ dalla (14), risolvendo le (15) e (16) si ottengono le perturbazioni di velocità orizzontale.

Moto geostrofico linearizzato

- Se consideriamo le fluttuazioni di velocità (e quindi η) come **stazionarie**, cioè $\frac{\partial}{\partial t} = 0$, dalle (15) e (16) otteniamo:

$$u' = -\frac{g}{f} \frac{\partial \eta}{\partial y}$$
$$v' = +\frac{g}{f} \frac{\partial \eta}{\partial x}$$

che, ricordando il legame tra η e h , e quindi tra h e p' , sono equivalenti alle equazioni del **moto geostrofico**.

- Cioé, il moto geostrofico corrisponde ad una approssimazione **lineare** e **stazionaria** delle equazioni **Shallow-water**.
- Siccome η è sostanzialmente il campo di pressione, avremo che la velocità segue le isolinee del campo $\eta(x, y)$ come segue le isobare, cioè si mostra facilmente che:

$$\vec{u}_H \cdot \nabla \eta = 0$$

- È anche interessante notare che, per un moto stazionario, la (14) diventa:

$$J(H_0, \eta) = 0 \quad \Rightarrow \quad \frac{\partial H_0}{\partial x} \frac{\partial \eta}{\partial y} = \frac{\partial H_0}{\partial y} \frac{\partial \eta}{\partial x} \quad (17)$$

che implica che le isolinee di η coincidono con quelle di H_0 .

- Quindi, nel moto geostrofico, il campo H_0 imperturbato **determina le perturbazioni di pressione**, le cui isolinee, come abbiamo visto, sono a loro volta le linee di flusso di \vec{u}_H !

Onde piane con profondità costante

- L'equazione (14), nonostante sia lineare, e quindi risolvibile analiticamente, **NON è semplice da risolvere**. La complicazione principale viene dal fatto che $C_0^2 = gH_0$ e $H_0 = H_0(x, y)$, cioè l'equazione è a **coefficienti NON costanti**.
- Per cercare soluzioni in maniera semplice, facciamo quindi l'ulteriore ipotesi di supporre H_0 **costante**, cioè la profondità del fluido imperturbato è costante, quindi il profilo del fondo è, **all'equilibrio**, identico in forma a quello dello strato superiore del fluido:

$$h(x, y) = h_B(x, y) + \text{costante}$$

all'equilibrio!

Onde piane con profondità costante

- In questo caso:

$$J(H_0, \eta) = 0$$

e C_0^2 è costante e possiamo cercare una soluzione come una sovrapposizione di onde piane:

$$\eta(x, y, t) = \Re\{\eta_0(k_x, k_y, \omega)e^{i(k_x x + k_y y - \omega t)}\} = \Re\{\eta_0 e^{i\theta}\} \quad (18)$$

con η_0 complesso.

- L'equazione (14), per C_0^2 costante diventa:

$$\frac{\partial}{\partial t} \left[\left(\frac{\partial^2}{\partial t^2} + f^2 \right) - C_0^2 \nabla \cdot (\nabla \eta) \right] = 0$$

- Sostituendo la forma (18) per la perturbazione η , si arriva alla seguente relazione:

$$\omega \eta_0 [(-\omega^2 + f^2) + C_0^2 K^2] = 0 \quad (19)$$

dove $K^2 = k_x^2 + k_y^2$.

Onde piane con profondità costante

- La (19), risolta, fornisce la **relazione di dispersione**:

$$\omega = \pm \sqrt{f^2 + C_0^2 K^2} \quad (20)$$

e la **velocità di fase** delle onde:

$$v_\phi = \frac{\omega}{K} = \pm \sqrt{C_0^2 + \frac{f^2}{K^2}} \quad (21)$$

che consta di due parti:

- 1 un'onda che esiste anche in **assenza di rotazione** ($f = 0$), la cui velocità di fase è: $v_\phi = C_0 = \sqrt{gH_0}$;
- 2 un contributo dovuto alla **rotazione** della terra.

Nota che la frequenza delle onde è $\omega > f = 2\Omega$, quindi il periodo è sempre $< T_{\text{rot}}/2$, dove T_{rot} è il periodo di rotazione della terra.

Onde piane con profondità costante

- Sostituendo la forma (18) nelle (15) e (16) e ipotizzando un analogo sviluppo per u' e v' , abbiamo:

$$\Re\{u_0 e^{i\theta}\} = -\frac{g}{-\omega^2 + f^2} \Re\{\eta_0(\omega k_x + ifk_y) e^{i\theta}\}$$

$$\Re\{v_0 e^{i\theta}\} = -\frac{g}{-\omega^2 + f^2} \Re\{\eta_0(\omega k_y + ifk_x) e^{i\theta}\}$$

con u_0 e v_0 coefficienti (**complessi**) degli sviluppi di u' e v' , rispettivamente.

- Possiamo calcolarci le componenti di \vec{u}_H nella direzione parallela e perpendicolare al vettore d'onda \vec{K} :

$$u_{\parallel} = \vec{u}_H \cdot \frac{\vec{K}}{K} = \Re\left\{-\frac{g\eta_0\omega K}{-\omega^2 + f^2} e^{i\theta}\right\}$$

$$u_{\perp} = \vec{u}_H - \vec{u}_{\parallel} \frac{\vec{K}}{K} = \Re\left\{i \frac{g\eta_0 f}{-\omega^2 + f^2} (-k_y \hat{i} + k_x \hat{j}) e^{i\theta}\right\}$$

Onde piane con profondità costante

- Prendendo i moduli quadri delle quantità, dividendo e sommando, otteniamo infine:

$$|u_{\parallel}|^2 + \frac{\omega^2}{f^2} |u_{\perp}|^2 = \frac{g^2 \eta_0^2 \omega^2 K^2}{-\omega^2 + f^2}$$

- Notiamo che, essendo:

$$C^2 = C_0^2 + f^2/K^2 \quad \text{e} \quad C_0^2 = gH_0$$

avremo:

$$\begin{aligned} -\omega^2 + f^2 &= -C_0^2 K^2 & (22) \\ \frac{g^2 \omega^2 K^2}{(-\omega^2 + f^2)^2} &= \frac{C^2}{H_0^2} \end{aligned}$$

da cui otteniamo:

$$|u_{\parallel}|^2 + \frac{\omega^2}{f^2} |u_{\perp}|^2 = \frac{C^2 \eta_0^2}{H_0^2} \quad (23)$$

cioé le onde sono **polarizzate ellitticamente**.

Onde piane con profondità costante

- Infatti, la (23) può anche scriversi:

$$\frac{|u_{\parallel}|^2}{a^2} + \frac{|u_{\perp}|^2}{b^2} = 1$$

con: $a = \frac{H_0}{C\eta_0}$, $b = \frac{\omega H_0}{fC\eta_0}$, che è l'equazione di una **ellisse** di semiassi a e b .

- Notiamo che:

$$\frac{|u_{\parallel}|^2}{|u_{\perp}|^2} = \frac{\omega^2}{f^2} \cot^2 \theta$$

e, poiché: $\omega > f$ dalla (20), a meno del fattore $\cot^2 \theta$ la componente u_{\parallel} parallela a \vec{K} è, per lo più, maggiore della componente u_{\perp} perpendicolare a \vec{K} .

- Siccome:

$$\nabla \eta = \vec{K} \eta_0 e^{i\theta}$$

\vec{K} è anche la direzione del gradiente di η , cioè del **gradiente di pressione!**

Onde piane con profondità costante

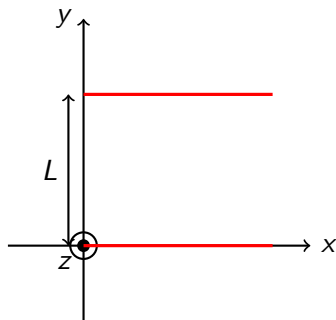
- In altri termini, le **fluttuazioni di velocità seguono** in questo caso, per lo più, **i gradienti di pressione, al contrario di quanto accade nel moto geostrofico!**
- Usando la prima delle (22), la definizione di η data dalla (18), ed il fatto che: $C_0^2 = gH$, abbiamo che la vorticità dell'onda è data da:

$$\zeta = \frac{\partial v}{\partial x} - \frac{\partial u}{\partial y} = \frac{gf\eta}{C_0^2} = \frac{f\eta}{H_0}$$

- Nota che questa quantità è di ordine ϵ (cioè al primo ordine), essendo le velocità stesse u e v di ordine ϵ !
- Questa relazione ci dice che, **laddove la superficie libera cresce** (cioè nelle creste dell'onda), la **vorticità è positiva** a causa del *vortex-tube stretching*. Viceversa, **la vorticità è negativa** nelle valli dell'onda.

Onde di Poincaré e onde di Kelvin

- Finora abbiamo studiato onde piane, cioè fluttuazioni lineari che possono propagarsi in un dominio infinitamente esteso sia in x che in y .
- Tale situazione è semplice, ma **poco realistica**.
- Analizziamo ora cosa succede quando imponiamo che ci siano dei **bordi lungo una delle due direzioni**, ad esempio la y .



Se i muri sono impenetrabili, la componente v lungo y della velocità deve annullarsi sulle pareti. Cioé, dalla (16):

$$\frac{\partial}{\partial y} \frac{\partial \eta}{\partial t} - f \frac{\partial \eta}{\partial x} = 0 \quad (24)$$

per $y = 0$ e $y = L$.

- L'equazione per η , per $H_0 = \text{costante}$, è sempre la:

$$\frac{\partial}{\partial t} \left[\left(\frac{\partial^2}{\partial t^2} + f^2 \right) - C_0^2 \nabla \cdot (\nabla \eta) \right] = 0 \quad (25)$$

- Tuttavia, questa volta, non essendo più le quantità periodiche in y (ritenendo tuttavia l'ipotesi di periodicità in x e t) scriveremo che:

$$\eta(x, y, t) = \Re \{ \tilde{\eta}(y) e^{i(kx - \omega t)} \} \quad (26)$$

dove $\tilde{\eta}(y)$ è una funzione (**complessa**) di y e k , questa volta, è il vettore d'onda nella sola direzione x .

- Inserendo la (26) nella (25), dopo alcuni calcoli avremo:

$$\frac{d^2\tilde{\eta}}{dy^2} + \left(\frac{\omega^2 - f^2}{C_0^2} - k^2 \right) \tilde{\eta} = 0 \quad (27)$$

- Inserendo invece la (26) nella (24) abbiamo:

$$\frac{d\tilde{\eta}}{dy} + \frac{fk}{\omega}\tilde{\eta} = 0 \quad \text{a} \quad y = 0, y = L \quad (28)$$

- Essendo le quantità in parentesi nella (27) tutte costanti, la soluzione generale dell'equazione è:

$$\tilde{\eta}(y) = A \sin(\alpha y) + B \cos(\alpha y) \quad (29)$$

con:

$$\alpha^2 = \frac{\omega^2 - f^2}{C_0^2} - k^2 \quad (30)$$

- I coefficienti A e B devono essere determinati tramite la condizione ai bordi (28).

- Per $y = 0$, la (28) fornisce:

$$\alpha A + \frac{fk}{\omega} B = 0 \quad (31)$$

mentre, per $y = L$:

$$A \left[\alpha \cos(\alpha L) + \frac{fk}{\omega} \sin(\alpha L) \right] + B \left[-\alpha \sin(\alpha L) + \frac{fk}{\omega} \cos(\alpha L) \right] = 0 \quad (32)$$

- Le (31) e (32) rappresentano un sistema omogeneo in A e B che ammette soluzione **non banale** sse il determinante della matrice dei coefficienti è **nullo!**

- Ricordando la (30) che definisce α , dopo alcuni calcoli si perviene alla:

$$\frac{\sin(\alpha L)(\omega^2 - f^2)(\omega^2 - k^2 C_0^2)}{C_0^2 \omega^2} = 0 \quad (33)$$

- Poiché certamente $C_0^2 \omega^2 \neq 0$, abbiamo tre possibili soluzioni della (33):

$$\begin{aligned} \sin(\alpha L) &= 0 \\ \omega^2 - k^2 C_0^2 &= 0 \\ \omega^2 - f^2 &= 0 \end{aligned} \quad (34)$$

- La (34.1) ci dice che: $\sin(\alpha L) = 0$, ovvero:

$$\alpha = \frac{n\pi}{L}, \quad n = 1, 2, 3, \dots \quad (35)$$

- Nota che la soluzione $n = 0$, che implica $\alpha = 0$ è impossibile perché non permette che la v si annulli ai bordi, quindi va esclusa!
- Inserendo la (35) nella definizione di α (30), si arriva alla relazione di dispersione:

$$\omega = \pm \sqrt{f^2 + C_0^2 \left[k^2 + \left(\frac{n\pi}{L} \right)^2 \right]} \quad (36)$$

che è analoga alla (20) per le onde piane con la notevole differenza che ora il vettore d'onda lungo y è **quantizzato**!

- Tali onde vengono chiamate **onde di Poincaré** e sono in tutto **simili alle onde piane trovate in precedenza**, a meno della quantizzazione in y .
- Nota che, spesso, per estensione, anche le onde piane definite in precedenza vengono chiamate **onde di Poincaré**.
- Le onde di Poincaré hanno diverse caratteristiche comuni con le onde piane studiate in precedenza:
 - 1 possono propagarsi sia nel verso positivo che negativo dell'asse x ;
 - 2 anche in questo caso $\omega > f$ ed esistono anche in assenza di rotazione ($f = 0$), trasformandosi nelle ordinarie onde della SW.
- Per calcolare i campi $\eta(x, y, t)$, $u'(x, y, t)$ e $v'(x, y, t)$ dobbiamo calcolare le ampiezze A e B , che ora risulteranno dipendenti:

$$A = -\frac{fk}{\alpha\omega} B = -\frac{fkL}{n\pi\omega} B$$

- Rinominando $B = \eta_0 = |\eta_0|e^{i\phi}$ una generica **ampiezza complessa**, si ottiene l'espressione dei campi cercata:

$$\eta(x, y, t) = |\eta_0| \left[-\frac{fL}{n\pi C_x} \sin\left(\frac{n\pi}{L}y\right) + \cos\left(\frac{n\pi}{L}y\right) \right] \cos(kx - \omega t + \phi)$$
$$u'(x, y, t) = \frac{|\eta_0|}{H_0} \left[\frac{C_0^2}{C_x^2} \cos\left(\frac{n\pi}{L}y\right) - \frac{fL}{n\pi} \sin\left(\frac{n\pi}{L}y\right) \right] \cos(kx - \omega t + \phi)$$

(37)

$$v'(x, y, t) = -\frac{|\eta_0|}{H_0} \frac{L}{n\pi\omega} \left[f^2 + C_0^2 \left(\frac{n\pi}{L}\right)^2 \right] \sin\left(\frac{n\pi}{L}y\right) \sin(kx - \omega t + \phi)$$

dove $C_x = \omega/k$ è la velocità di fase lungo x .

- Nota come, a differenza dell'onda piana, nell'onda di Poincaré la C_x dipende da n (quindi dalla struttura in y !) e la forma dell'onda in y nelle equazioni (37) dipende da C_x !

- La soluzione della (34.2) è:

$$\omega = \pm kC_0 \quad (38)$$

- Questa soluzione, com'è facile notare, esiste anche per $f = 0$, cioè **in assenza di rotazione** e può considerarsi la **soluzione mancante** dell'onda di Poincaré (equazione (36)) con $n = 0$!
- Per analizzare com'è fatta questa soluzione, andiamo a sostituire la (38) nella equazione (27) per $\tilde{\eta}$, che diventa:

$$\frac{d^2 \tilde{\eta}}{dy^2} - \frac{f^2}{C_0^2} \tilde{\eta} = 0$$

Onde di Kelvin

- Tale equazione ha per soluzione:

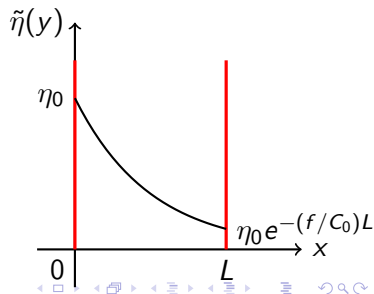
$$\tilde{\eta}(y) = Ae^{+(f/C_0)y} + Be^{-(f/C_0)y} \quad (39)$$

- Per determinare A e B , occorre tener conto della condizione al bordo (28) che, per $\omega = +kC_0$, fornisce: $A = 0$.

La soluzione (39) diventa quindi:

$$\tilde{\eta}(y) = \eta_0 e^{-(f/C_0)y} \quad (40)$$

cioé il profilo dell'onda decresce esponenzialmente andando dal bordo a $y = 0$ fino a $y = L$!



- Inserendo la (40) nella (26), troviamo:

$$\eta(x, y, t) = \Re\{\tilde{\eta}(y)e^{i(kx-\omega t)}\} = |\eta_0|e^{-(f/C_0)y} \cos[k(x - C_0t) + \phi]$$

avendo posto: $\eta_0 = |\eta_0|e^{i\phi}$.

- Ipotizzando sviluppi simili per u' e v' :

$$u' = \Re\{\tilde{u}(y)e^{i(kx-\omega t)}\}$$

$$v' = \Re\{\tilde{v}(y)e^{i(kx-\omega t)}\}$$

e usando le (15) e (16) perveniamo alle relazioni:

$$u' = \frac{C_0}{H_0} |\eta_0| e^{-(f/C_0)y} \cos(kx - \omega t + \phi) = -\frac{g}{f} \frac{\partial \eta}{\partial y}$$

$$v' = 0$$

- Cioé, **la componente u' è in equilibrio geostrofico**, mentre **la v' è nulla!**
- Per $\omega = +kC_0$ il fluido tende ad addensarsi sul bordo $y = 0$ e si ha un perfetto equilibrio tra gravità e forza centrifuga per cui qualsiasi perturbazione può propagarsi solo lungo x .
- La forma del profilo in y dell'onda segue una legge esponenziale con rate di decadimento:

$$R = \frac{C_0}{f} \quad \rightarrow \quad \text{Raggio di deformazione di Rossby}$$

che ha la dimensione di una **lunghezza**.

- Nota che, per $f \rightarrow 0$ (no rotazione!), si ha: $R \rightarrow \infty$, cioè il profilo in y dell'onda diventa piatto, esattamente come succederebbe al caso $n = 0$ dell'onda di Poincaré, che prima avevamo escluso perché non era compatibile con le condizioni ai bordi per v' . Tuttavia, per l'onda di Kelvin $v' = 0$, quindi questo caso è perfettamente legittimo!

- Cosa accade invece quando $\omega = -kC_0$?
- Rifacendo i calcoli, si trova che, in questo caso, nella (39):

$$\tilde{\eta}(y) = Ae^{+(f/C_0)y} + Be^{-(f/C_0)y}$$

si ha $B = 0$.

- Di conseguenza:

$$\tilde{\eta}(y) = \eta_0 e^{+(f/C_0)y}$$

cioé **il profilo dell'onda cresce esponenzialmente** andando da $y = 0$ a $y = L$.

- Nota che l'onda di Kelvin $\omega = +kC_0$ è compatibile con un dominio limitato solo da $y = 0$ (cioé $L \rightarrow \infty$). L'onda di Kelvin con $\omega = -kC_0$ **NON** è compatibile con tale condizione, perché l'onda **cresce esponenzialmente**.

- L'ultima soluzione possibile per la (34) è:

$$\omega = \pm f$$

tuttavia, possiamo far vedere che tale condizione è **impossibile** a verificarsi, tranne che come **caso degenero dell'onda di Kelvin!**

- Per far vedere che tale soluzione è **spuria**, cioè è stata introdotta dalle varie derivazioni che abbiamo effettuato per pervenire all'equazione (14) per η , facciamo vedere che essa **NON SODDISFA** le equazioni di partenza (11) per le perturbazioni del profilo di equilibrio!
- Ipotizziamo il solito sviluppo del tipo:

$$\eta(x, y, t) = \Re\{\tilde{\eta}(y)e^{i(kx-ft)}\}$$

$$u'(x, y, t) = \Re\{\tilde{u}(y)e^{i(kx-ft)}\}$$

$$v'(x, y, t) = \Re\{\tilde{v}(y)e^{i(kx-ft)}\}$$

dove abbiamo sostituito $\omega = +f$ nella parte dipendente dal tempo.

- Dopo vari calcoli si perviene alla relazione seguente:

$$\tilde{v}(y) = \frac{2if\eta_0}{kH_0}(1 - k^2R^2) \sinh(ky)$$

la quale soddisfa la condizione al bordo $\tilde{v}(y = 0) = 0$, ma **non può soddisfare contemporaneamente l'altra condizione al bordo:** $\tilde{v}(y = L) = 0$, perché il \sinh ammette un solo zero, quando l'argomento è nullo!

- Tale soluzione è quindi **non fisica**, tranne quando il termine $(1 - k^2R^2) = 0$, cioè quando:

$$k = \frac{1}{R} = \frac{f}{C_0} \quad \Rightarrow \quad \omega = f = kC_0$$

e l'onda degenera in un'onda di Kelvin (infatti, in questo caso, $\tilde{v}(y)$ **risulta identicamente nullo!**).

In totale, possiamo riassumere il caso delle onde lineari shallow-water con profondità costante nella maniera seguente:

- **Onde di Poincaré**, caratterizzate dalla relazione di dispersione (36), che può essere adimensionalizzata come:

$$\frac{\omega}{f} = \pm \sqrt{1 + k^2 R^2 + \left(\frac{n\pi}{L}\right)^2 R^2}$$

che rappresenta un insieme di curve nel piano $(kR, \frac{\omega}{f})$ che sta sempre al di sopra (o al di sotto) della retta che ha inclinazione a 45° :

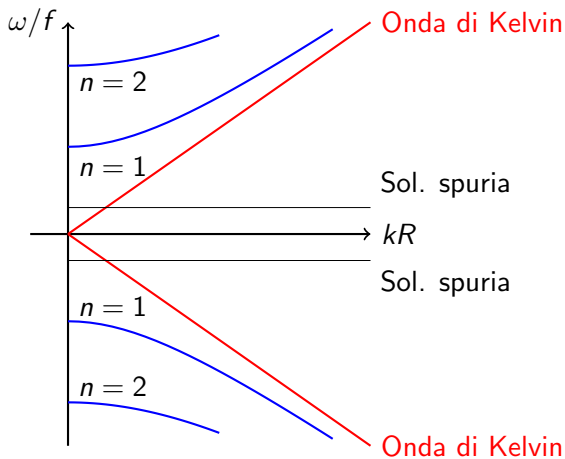
$$\frac{\omega}{f} = \pm kR$$

- **Onde di Kelvin**, con relazione di dispersione (38), che normalizzata dà:

$$\frac{\omega}{f} = \pm k \frac{C_0}{f} = \pm kR$$

che è la retta a 45° nel piano.

- Le precedenti relazioni possono essere riassunte nel grafico seguente:



- Finora abbiamo studiato il caso di H_0 costante.
- Vediamo ora invece cosa accade quando andiamo a considerare onde lineari in uno strato fluido di larghezza L lungo y , ma in cui H_0 varia leggermente:

$$H_0 = D_0 \left(1 - \frac{sy}{L} \right) \quad (41)$$

con $s \ll 1$, parametro che descrive la pendenza (**costante**) lungo y .

- In tal caso, le **isobate** (linee di livello di H_0) sono delle rette parallele all'asse x .
- In questo caso, una velocità parallela ad y si traduce in una variazione di vorticità, che è collegata alle variazioni di H_0 .

- Ritorniamo quindi all'equazione originale per η (14)

$$\frac{\partial}{\partial t} \left[\left(\frac{\partial^2}{\partial t^2} + f^2 \right) - \nabla \cdot (C_0^2 \nabla \eta) \right] - fgJ(H_0, \eta) = 0 \quad (42)$$

- Supposto il solito sviluppo per η nella forma:

$$\eta(x, y, t) = \Re \{ \tilde{\eta}(y) e^{i(kx - \omega t)} \} \quad (43)$$

- In queste condizioni, i vari termini che appaiono nella (42) diventano:

$$\begin{aligned} C_0^2 &= gD_0 \left(1 - \frac{sy}{L} \right) \\ \nabla \cdot (C_0^2 \nabla \eta) &= gD_0 \left(1 - \frac{sy}{L} \right) \nabla^2 \eta + gD_0 \left(-\frac{s}{L} \right) \frac{\partial \eta}{\partial y} \\ J(H_0, \eta) &= \frac{sD_0}{L} \frac{\partial \eta}{\partial x} \end{aligned}$$

- L'equazione (42), diventa, scritta in termini di $\tilde{\eta}(y)$:

$$\left(1 - \frac{sy}{L}\right) \frac{d^2 \tilde{\eta}}{dy^2} - \frac{s}{L} \frac{d\tilde{\eta}}{dy} + \tilde{\eta} \left[-k^2 \left(1 - \frac{sy}{L}\right) - \frac{kfs}{\omega L} + \frac{(\omega^2 - f^2)}{gD_0} \right] = 0 \quad (44)$$

- La condizione (24), per cui v' deve annullarsi a $y = 0$ e $y = L$:

$$\frac{\partial}{\partial y} \frac{\partial \eta}{\partial t} - f \frac{\partial \eta}{\partial x} = 0$$

deve essere soddisfatta e, sostituendo lo sviluppo (43), abbiamo:

$$\frac{d\tilde{\eta}}{dy} + \frac{fk}{\omega} \tilde{\eta} = 0 \quad \text{a } y = 0, y = L \quad (45)$$

- Siccome $s \ll 1$ per ipotesi e $\frac{y}{L} \leq 1$, possiamo trascurare tutti i termini in cui $\frac{sy}{L}$ si confronta con 1 nella (44), e tenendo conto del fatto che:

$$C_0^2 = gH_0 = gD_0 \left(1 - \frac{sy}{L}\right) \sim gD_0$$

per cui possiamo sostituire gD_0 con C_0^2 , ottenendo:

$$\frac{d^2 \tilde{\eta}}{dy^2} - \frac{s}{L} \frac{d\tilde{\eta}}{dy} + \tilde{\eta} \left[\frac{(\omega^2 - f^2)}{C_0^2} - k^2 - \frac{k fs}{\omega L} \right] = 0 \quad (46)$$

- La soluzione di tale equazione è:

$$\tilde{\eta}(y) = e^{sy/(2L)} [A \sin(\alpha y) + B \cos(\alpha y)] \quad (47)$$

dove:

$$\alpha^2 = \frac{(\omega^2 - f^2)}{C_0^2} - \left(k^2 + \frac{s^2}{4L^2} \right) - \frac{k fs}{\omega L} \quad (48)$$

- Sostituendo la soluzione (47) nella condizione ai bordi (45), otteniamo che si hanno soluzioni non banali per A e B sse:

$$\frac{\sin(\alpha L)(\omega^2 - k^2 C_0^2)(\omega^2 - f^2)}{C_0^2 \omega^2} = 0 \quad (49)$$

che è identica alla (33) ottenuta in precedenza, a meno del fatto che ora α è dato dalle (48).

- Questo implica che, in presenza di un fondo con una piccola pendenza, l'onda di Kelvin rimane inalterata!

- La soluzione per l'onda di Poincaré, $\sin(\alpha L) = 0$, invece, si modifica secondo la relazione di dispersione seguente:

$$\omega^2 - \frac{k}{\omega} f C_0^2 \frac{s}{L} = f^2 + C_0^2 \left[k^2 + \left(\frac{n\pi}{L} \right)^2 \right] \quad (50)$$

che è l'equazione di una **cubica** (moltiplicando per ω !).

- Quindi tale relazione ha **3 soluzioni!**
- Se ω è grande, poiché $s \ll 1$ il secondo termine si può trascurare rispetto al primo, cosicché:

$$\omega = \pm \sqrt{f^2 + C_0^2 \left[k^2 + \left(\frac{n\pi}{L} \right)^2 \right]}$$

cioè a frequenze alte riotteniamo le **onde di Poincaré**, che risultano quindi indipendenti dalla presenza della pendenza del fondo, supposta piccola.

Onde di Rossby

- Queste sono quindi due (quella col +, che si propaga nel senso positivo delle x e quella col -, che si propaga in verso opposto) soluzioni della cubica (50).
- Se consideriamo invece frequenze basse, dell'ordine di s :

$$\omega \sim s \ll 1$$

il primo termine nella (50) può essere trascurato rispetto al secondo, che è di ordine 1, e quindi si ottiene una soluzione del tipo:

$$\omega = -s \left(\frac{f}{L} \right) \frac{k}{k^2 + \left(\frac{n\pi}{L} \right)^2 + \frac{f^2}{C_0^2}} \quad n = 1, 2, \dots \quad (51)$$

- Queste onde, di cui la (51) rappresenta la **relazione di dispersione**, sono dette **onde topografiche di Rossby** o, semplicemente **onde di Rossby**.

Onde di Rossby

Notiamo un paio di aspetti notevoli di tali onde:

- 1 le frequenza di tali onde è **sempre negativa**, il che vuol dire che la velocità di fase lungo x :

$$C_x = \frac{\omega}{k} = -s \frac{f}{L} \frac{1}{k^2 + \left(\frac{n\pi}{L}\right)^2 + \frac{f^2}{C_0^2}}$$

è sempre **negativa** se $f > 0$, positiva se $f < 0$. Cioè le onde si propagano nel verso negativo delle x nell'emisfero nord, in quello positivo nell'emisfero sud!

- 2 la frequenza, in funzione di k , ha un **minimo** (o un max negativo!) se:

$$k_{\min} = \sqrt{\left(\frac{n\pi}{L}\right)^2 + \frac{f^2}{C_0^2}}$$

Il **valore minimo di $\omega(k)$** corrispondente è:

$$\omega_{\min} = -\frac{sf}{2} \frac{1}{\sqrt{n^2\pi^2 + f^2L^2/C_0^2}}$$

Onde di Rossby

- In ogni caso, notiamo che, a differenza di quanto accade per le onde di Poincaré e di Kelvin, per le onde di Rossby si ha: $\omega < f$, cioè sono **onde di bassa frequenza!**
- Tenendo conto del fatto che il raggio di deformazione di Rossby è definito come:

$$R = C_0/f$$

abbiamo:

$$\frac{\omega}{f} = -s \left(\frac{R}{L} \right) \frac{kR}{1 + \left(\frac{n\pi}{L} \right)^2 R^2 + k^2 R^2}$$

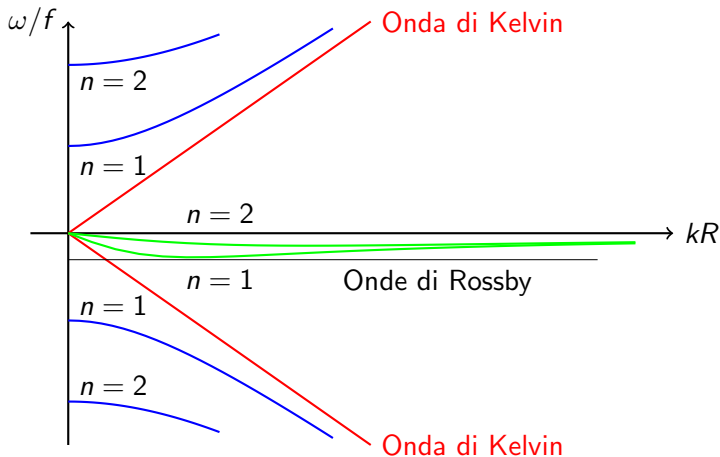
e:

$$\frac{\omega_{\min}}{f} = -\frac{s}{2} \frac{1}{\sqrt{n^2 \pi^2 + L^2/R^2}}$$

- Notiamo infine che, all'aumentare di n , si ha che ω tende a zero, al contrario di quanto accade per le onde di Poincaré!

Onde di Rossby

- La relazione di dispersione per le onde nel caso con fondo variabile può essere quindi riassunta nel grafico seguente:



Onde di Rossby

- Nello stesso grado di approssimazione già visto, ($\omega \sim s$ e $s \ll 1$), possiamo infine ottenere l'espressione per la polarizzazione delle onde di Rossby:

$$\eta = \eta_0 \sin\left(\frac{n\pi}{L}y\right) \cos(kx - \omega t + \phi) \quad (52)$$

$$u' = -\frac{g}{f} \frac{n\pi}{L} \eta_0 \cos\left(\frac{n\pi}{L}y\right) \cos(kx - \omega t + \phi) \quad (53)$$

$$v' = -\frac{g}{f} k \eta_0 \sin\left(\frac{n\pi}{L}y\right) \sin(kx - \omega t + \phi) \quad (54)$$

- Notiamo che queste relazioni, combinate insieme, ci danno:

$$u' = -\frac{g}{f} \frac{\partial \eta}{\partial y} \quad (55)$$

$$v' = \frac{g}{f} \frac{\partial \eta}{\partial x} \quad (56)$$

cioé, di nuovo, poiché abbiamo supposto $\omega/f \ll 1$ (che corrisponde a $Ro \ll 1!$), ritroviamo l'equilibrio geostrofico!

- È evidente che in questo discorso c'è una contraddizione:
 - 1 da un lato, l'onda di Rossby appare in equilibrio geostrofico e questo implicherebbe che il campo di velocità segua le isobare del campo di pressione (ovvero di η !);
 - 2 d'altro lato, queste isobare, dato che tutto è invariante con z , essendo in un caso SW, devono terminare nelle isobate di H_0 che, come abbiamo visto, sono delle rette parallele all'asse x , ma questo implicherebbe che la velocità dovrebbe avere $v' = 0$, che contraddice la seconda delle (52).
- Vedremo tra poco come si risolve questo problema. Facciamo vedere prima, invece, come l'equazione per la perturbazione di η ottenuta dalle equazioni SW nel caso dell'onda di Rossby, si poteva ottenere anche direttamente dall'equazione della vorticità potenziale.
- Infatti, ritorniamo per un momento all'equazione (42) per η :

$$\frac{\partial}{\partial t} \left[\left(\frac{\partial^2}{\partial t^2} + f^2 \right) - \nabla \cdot (C_0^2 \nabla \eta) \right] - fgJ(H_0, \eta) = 0$$

Onde di Rossby

- Con le ipotesi:

$$H_0 = \left(1 - \frac{sy}{L}\right)$$

$$C_0^2 = gH_0 = gD_0 \left(1 - \frac{sy}{L}\right)$$

$$\nabla \cdot (C_0^2 \nabla \eta) = gH_0 \nabla^2 \eta - \frac{s}{L} gD_0 \frac{\partial \eta}{\partial y}$$

$$J(H_0, \eta) = -\frac{dH_0}{dy} \frac{\partial \eta}{\partial x}$$

nelle condizioni dell'onda di Rossby:

$$s \sim \omega \ll 1; \quad \frac{\omega}{f} \ll 1$$

si ottiene, notando che:

① se: $\frac{\omega}{f} \ll 1 \Rightarrow \frac{\partial^2 \eta}{\partial t^2} \ll f^2 \eta \Rightarrow \left(\frac{\partial^2}{\partial t^2} + f^2\right) \eta \sim f^2 \eta;$

② se: $s \ll 1 \Rightarrow \nabla \cdot (C_0^2 \nabla \eta) \sim gH_0 \nabla^2 \eta$

- Riunendo tutte queste ipotesi, troviamo:

$$\frac{\partial}{\partial t} (gH_0 \nabla^2 \eta - f^2 \eta) - fg \frac{dH_0}{dy} \frac{\partial \eta}{\partial x} = 0 \quad (57)$$

- Usando le equazioni (55) e dividendo per fH_0 , la (57) diventa:

$$\frac{\partial}{\partial t} \left(\zeta - \frac{f\eta}{H_0} \right) - \frac{f}{H_0} v' \frac{dH_0}{dy} = 0 \quad (58)$$

- Si può far vedere facilmente che la (58) non è altro che l'equazione per la vorticità potenziale:

$$\frac{d\Pi_s}{dt} = \frac{d}{dt} \left(\frac{\zeta + f}{H} \right) = 0 \quad (59)$$

Correzione della degenerazione geostrofica

- Ritorniamo al problema dell'incongruenza tra le relazioni di equilibrio geostrofico ottenute per l'onda di Rossby e le ipotesi iniziali fatte, per far vedere che l'equilibrio geostrofico ottenuto dipende in realtà dal fatto che le semplificazioni che abbiamo fatto sono effettivamente troppo brutali.
- Nota che il metodo che andremo ad esporre è del tutto generale e può essere applicato ad altri casi, anche, ad es., per trovare correzioni non-lineari ad ordini più alti nelle equazioni di partenza.
- Iniziamo dal supporre di adimensionalizzare tutte le variabili usando valori caratteristici opportunamente scelti:

$$\begin{aligned}x &= Lx' & y &= Ly' \\t &= Tt' \\u &= Uu' & v &= Uv' \\ \eta &= N_0\eta'\end{aligned} \tag{60}$$

- Al solito, dividiamo H in un termine H_0 più una perturbazione η :

$$H(x, y, t) = H_0(x, y) + \eta(x, y, t) \quad (61)$$

e poniamo:

$$H_0(x, y) = D - h_B(x, y)$$

quindi consideriamo un caso con livello di fluido imperturbato **costante** D , meno il fondo $h_B(x, y)$.

- Ritornando alle equazioni SW (5) iniziali, sostituendo le variabili adimensionali, che, per comodità di notazione indichiamo nuovamente senza gli apici, abbiamo il set di equazioni seguente:

$$\begin{aligned} \epsilon \frac{\partial u}{\partial t} + \epsilon \left(u \frac{\partial u}{\partial x} + v \frac{\partial u}{\partial y} \right) - v &= -\frac{\partial \eta}{\partial x} \\ \epsilon \frac{\partial v}{\partial t} + \epsilon \left(u \frac{\partial v}{\partial x} + v \frac{\partial v}{\partial y} \right) + u &= -\frac{\partial \eta}{\partial y} \end{aligned} \quad (62)$$

$$\begin{aligned} &\epsilon \frac{\partial \eta}{\partial t} + \epsilon^2 \left(u \frac{\partial \eta}{\partial x} + v \frac{\partial \eta}{\partial y} \right) - u \frac{\partial h_B}{\partial x} \frac{1}{D} - v \frac{\partial h_B}{\partial y} \frac{1}{D} + \\ &+ \epsilon \left[1 + \epsilon \eta - \frac{h_B}{D} \right] \left(\frac{\partial u}{\partial x} + D D Y v \right) \end{aligned} \quad (63)$$

- Se ipotizziamo uno sviluppo del tipo:

$$\begin{aligned} u &= u_0 + \epsilon u_1 + \epsilon^2 u_2 + \dots \\ v &= v_0 + \epsilon v_1 + \epsilon^2 v_2 + \dots \end{aligned} \quad (64)$$

$$\eta = \eta_0 + \epsilon \eta_1 + \epsilon^2 \eta_2 + \dots \quad (65)$$

- Si vede che l'unico termine che sopravvive nelle (62) per $\epsilon = 0$ è la soluzione geostrofica:

$$u = -\frac{\partial \eta}{\partial y}$$

$$v = \frac{\partial \eta}{\partial x}$$

$$u \frac{\partial}{\partial x} \frac{h_B}{D} + v \frac{\partial}{\partial y} \frac{h_B}{D} = 0$$

- Se invece facciamo l'ipotesi che $\frac{h_B}{D}$ sia piccolo ($h_B \propto s$ per le onde di Rossby!):

$$\frac{h_B}{D} \sim \epsilon \eta_B(x, y)$$

- Si ottiene quindi la correzione al moto geostrofico dalle equazioni:

$$\begin{aligned}\frac{\partial u_0}{\partial t} + u_0 \frac{\partial u_0}{\partial x} + v_0 \frac{\partial u_0}{\partial y} - v_1 &= -\frac{\partial \eta_1}{\partial x} \\ \frac{\partial v_0}{\partial t} + u_0 \frac{\partial v_0}{\partial x} + v_0 \frac{\partial v_0}{\partial y} + u_1 &= -\frac{\partial \eta_1}{\partial y} \\ \frac{\partial \eta_0}{\partial t} + u_0 \frac{\partial \eta_0}{\partial x} + v_0 \frac{\partial \eta_0}{\partial y} - u_0 \frac{\partial \eta_B}{\partial x} - v_0 \frac{\partial \eta_B}{\partial y} + \\ &+ \left(\frac{\partial u_1}{\partial x} + \frac{\partial v_1}{\partial y} \right) = 0\end{aligned}$$